

## [ 通 讯 ]

# CF 自由基 $5p\pi E^2 \Pi_r(v'=1) \leftarrow X^2 \Pi_r(v''=0)$ 带的转动分析 \*

张 群 束继年 周晓国 戴静华 李全新

(中国科技大学化学物理系, 合肥 230026; 中国科学院选键化学开放实验室)

关键词: CF 自由基, 共振增强多光子电离 (REMPI),  $5p\pi E^2 \Pi_r$  态, 光谱常数

自 1950 年 Andrews 等人首次报导 CF 自由基  $A^2 \Sigma^+ - X^2 \Pi_r$  跃迁的发射谱<sup>[1]</sup>以来, 有关 CF 自由基基态和低电子激发态的光谱数据已十分丰富<sup>[2-6]</sup>. 1987 年, Hudgens 等人观测到 CF 自由基  $3p\pi D^2 \Pi_r \leftarrow X^2 \Pi_r$  跃迁的 (2 + 1) REMPI 激发谱, 并对其 (0, 0)、(1, 0)、(2, 0) 三个振动带做了转动分析<sup>[7]</sup>, 这是迄今唯一报导 CF 自由基 Rydberg 态光谱的文献.

本文采用自行发展的脉冲直流放电方法产生 CF 自由基, 结合 REMPI 技术, 测得 285-288.5 nm 波长范围内 CF 自由基  $5p\pi E^2 \Pi_r(v'=1) \leftarrow X^2 \Pi_r(v''=0)$  带的转动分辨二光子共振增强多光子电离 (REMPI) 激发谱. 通过转动分析, 首次给出 CF 自由基  $5p\pi E^2 \Pi_r(v'=1)$  态的光谱常数:  $\sigma_0 = 69566.38 \pm 0.52 \text{ cm}^{-1}$ ,  $A'_V = 46.4 \pm 0.3 \text{ cm}^{-1}$ ,  $B'_V = 2.565 \pm 0.017 \text{ cm}^{-1}$ ,  $D'_V = (8.6 \pm 1.2) \times 10^{-6} \text{ cm}^{-1}$ .

## 1 实验

实验装置及具体运作的详细描述见前文<sup>[8]</sup>. 滞止压力为  $1.01 \times 10^5 \text{ Pa}$  的  $\text{CF}_4 / \text{Ar}$  或  $\text{CF}_2\text{Cl}_2 / \text{Ar}$  (1 : 4) 混合气经脉冲喷嘴进入脉冲直流放电腔. 经辉光放电产生的 CF 自由基在电离室被聚焦到气束中心的激光 (透镜焦距  $f = 20 \text{ cm}$ ) 作用, 经 REMPI 过程生成  $\text{CF}^+$  离子. 在引出电场和加速电场的联合作用下,  $\text{CF}^+$  离子经过一段时间的自由飞行到达探测室的微通道板. 离子信号经放大后由微机采集和处理. 放电产生的大量离子对 REMPI 信号的干扰的消除方法见前文<sup>[8]</sup>.

激光光源为 YAG 泵浦染料的倍频输出 (2 mJ / pulse). 染料激光的带宽  $0.08 \text{ cm}^{-1}$ , 重复频率 4 Hz, 扫描步长为  $0.001 \text{ nm} \cdot \text{s}^{-1}$ . 信号每采集 20 次平均一次. 光谱强度未对激光能量进行校正 (因 285-288.5 nm 范围内染料激光的能量基本是一平台), 激光波长则根据光电流光谱法用 Ne 线校正.

## 2 实验结果与分析

CF 自由基基态电子构型为

$$KK(2s\sigma)^2(2s\sigma^*)^2(2p\sigma)^2(2p\pi)^42p\pi^*, \quad X^2 \Pi_r \quad (1)$$

$5p\pi E^2 \Pi_r$  态是由  $2p\pi^*$  轨道上的电子被激发到一个  $5p\pi$  Rydberg 轨道上而形成:

1998-06-08 收到初稿, 1998-07-14 收到修改稿. 联系人: 李全新. \* 国家自然科学基金, 国家教委回国人员基金和“九五”攀登计划资助项目

$$KK(2s\sigma)^2(2s\sigma^*)^2(2p\sigma)^2(2p\pi)^45p\pi, \quad E^2\Pi_r \quad (2)$$

$\pi^*$  轨道电子跃迁至弥散的 Rydberg 轨道上，使得 CF 振动频率  $\omega_e$  由基态的  $1308 \text{ cm}^{-1}$ <sup>[2]</sup> 增至  $E$  态的  $1848 \text{ cm}^{-1}$ <sup>[9]</sup>。后者很接近  $\text{CF}^+$  离子基态的振动频率 ( $1830 \pm 30 \text{ cm}^{-1}$ <sup>[10]</sup>)，表明  $E^2\Pi_r$  态应属一个具有基态离子的 Rydberg 态。此态标为  $E$  是基于它为我们首次发现，前人确认的 CF 最高电子激发态为  $D^2\Pi_r$ <sup>[7]</sup>；电子谱项  $^2\Pi$  的下标  $r$  则是基于转动分析所得  $E^2\Pi$  态的旋轨分裂常数  $A'_V$  大于 0(见下文)。

图 1 示出 285–288.5 nm 范围内 CF 自由基  $5p\pi E^2\Pi_r (v'=1) \leftarrow X^2\Pi_r (v''=0)$  带的转动分辨二光子共振增强多光子电离 (REMPI) 激发谱(另文<sup>[9]</sup>已给出 CF 自由基 260–305 nm 范围内振动分辨的 REMPI 激发谱，由此谱中所观察到的带源及分析拟合表明， $E$  态的主要量子数  $n = 5$ ，量子亏损值  $\delta = 0.625$ ，故此态属  $5p$  Rydberg 态)。图 1 中标出了  $Q_{11}$  支 ( $J = 0.5$ –19.5)、 $Q_{21}$  支 ( $J = 1.5$ –16.5) 及  $Q_{12}$ 、 $Q_{22}$  支的带头位置。 $Q_{12}$ 、 $Q_{22}$  支只给出带头是因为二者的高  $J$  值谱线向紫端延伸进入  $Q_{11}$ 、 $Q_{21}$  支转动线区，重叠加宽严重，导致谱线分辨率下降；另外，未能标识的  $\Lambda$  型双重分裂亦使各转动线有所增宽。

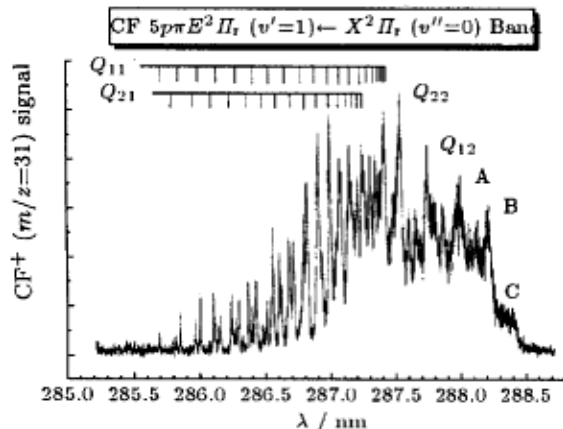


图 1 CF 自由基  $5p\pi E^2\Pi_r (v'=1) \leftarrow X^2\Pi_r (v''=0)$  带的转动分辨 (2+1)REMPI 激发谱

Fig.1 The rotationally resolved (2+1) REMPI excitation spectrum of the  $5p\pi E^2\Pi_r (v'=1) \leftarrow X^2\Pi_r (v''=0)$  band of CF radical (The bands labeled as A, B, C are unassigned)

$Q_{11}$  与  $Q_{12}$  支及  $Q_{21}$  与  $Q_{22}$  支的带头间距均约为  $40 \text{ cm}^{-1}$ (按激光频率)，它恰好近似等于  $X^2\Pi_r$  态旋轨分裂常数  $A'_V (77.1969 \text{ cm}^{-1})$ <sup>[11]</sup> 的一半，这也很好地反证此谱来自  $E \leftarrow X$  的二光子共振激发。对于两个具有相同  $A$  值的电子态间的二光子跃迁而言，一般地  $O$ 、 $Q$  和  $S$  支强度远大于  $P$ 、 $R$  支<sup>[12]</sup>，谱中确未观察到可分辨的  $P$ 、 $R$  支也说明了  $E$  态电子谱项为  $^2\Pi (A=1)$  的可靠性。

由于 CF 自由基基态  $X^2\Pi_r$  具有较大的旋轨分裂常数，可较好地用 Hund's case a 耦合描述；而目前的光谱分析表明上态旋轨分裂不是很大(见下文)，但也尚未达到大自旋脱耦状态，故  $E^2\Pi_r$  态应按 Hund's case a 与 case b 的过渡耦合描述<sup>[13]</sup>。适于此类  $E^2\Pi_r \leftarrow X^2\Pi_r$  跃迁的转动能量公式如下：

$$F_1(J) = B_V[(J + \frac{1}{2})^2 - 1 - \frac{1}{2}\sqrt{4(J + \frac{1}{2})^2 + Y(Y - 4)}] - D_V J^4 \quad (3)$$

$$F_2(J) = B_V[(J + \frac{1}{2})^2 - 1 + \frac{1}{2}\sqrt{4(J + \frac{1}{2})^2 + Y(Y - 4)}] - D_V (J + 1)^4 \quad (4)$$

其中  $B_V$  为振动态  $v$  的转动常数， $D_V$  为振动态  $v$  的离心畸变常数， $Y = A_V/B_V$ ， $A_V$  为旋轨分裂常数，它是自旋  $s$  与轨道角动量  $A$  之间的耦合强度的量度。由于上下态均为  $^2\Pi_r$ ，故  $F_1$ 、

$F_2$  分别对应  $^2\Pi_{1/2}$ 、 $^2\Pi_{3/2}$  支项。因  $J \geq \Omega$ ，故除  $Q_{11}(J)$  支的  $J$  值由  $1/2$  开始外， $Q_{21}(J)$ 、 $Q_{12}(J)$  和  $Q_{22}(J)$  支的  $J$  值均由  $3/2$  开始。

谱中观察到多条转动线的  $Q_{11}$ 、 $Q_{21}$  支的谱线位置 ( $\text{cm}^{-1}$ ) 可表示为

$$Q_{11}(J) = \sigma_0 + F'_1(J) - F''_1(J) \quad (5)$$

$$Q_{21}(J) = \sigma_0 + F'_2(J) - F''_1(J) \quad (6)$$

其中  $\sigma_0$  为  $E^2\Pi_r \leftarrow X^2\Pi_r$  跃迁 ( $1, 0$ ) 谱带的基线。令

$$q(J) = Q_{11}(J) + Q_{21}(J) + 2F''_1(J) \quad (7)$$

式中  $Q$  支的波数值由谱上得出， $F''_1(J)$  由基态转动常数<sup>[11]</sup> 算出。结合公式 (3)–(6)，式 (7) 可表示为

$$q(J) = 2\sigma_0 + 2B'_V(J + 1/2)^2 - 2B'_V - D'_V[J^4 + (J + 1)^4] \quad (8)$$

对  $q(J)$  一次差分后可得

$$\Delta q(J) = (4B'_V - 8D'_V) - 8D'_V J^3 \quad (9)$$

尝试作  $\Delta q(J)$ - $J$  关系图，若存在异常点，则返回光谱查证并重复上述过程。光谱拟合自洽后，作  $\Delta q/J$ - $J^2$  图，可拟合出  $B'_V$ 、 $D'_V$  值及二者的标准偏差；返回前面的公式 (3)–(6)，则可定出  $A'_V$  和  $\sigma_0$  值。

表 1 CF 自由基  $5p\pi E^2\Pi_r (v'=1) \leftarrow X^2\Pi_r (v''=0)$  带的转动分辨  
(2+1)REMPI 激发谱的标识 (单位:  $\text{cm}^{-1}$ )

Table 1 The assignments (in  $\text{cm}^{-1}$ ) of the rotationally resolved (2+1) REMPI excitation spectrum of the  $5p\pi E^2\Pi_r (v'=1) \leftarrow X^2\Pi_r (v''=0)$  band of CF radical

$J$	$Q_{11}(J)$			$Q_{21}(J)$		
	Obs.	Cal.	Resid.	Obs.	Cal.	Resid.
0.5	69 583.14	69 582.93	+0.21			
1.5	69 586.00	69 586.01	-0.01	69 628.25	69 628.23	+0.02
2.5	69 591.24	69 591.17	+0.07	69 634.77	69 634.91	-0.14
3.5	69 598.17	69 598.43	-0.26	69 644.54	69 644.23	+0.31
4.5	69 608.09	69 607.82	+0.27	69 655.87	69 656.14	-0.27
5.5	69 619.88	69 619.39	+0.49	69 669.98	69 670.61	-0.63
6.5	69 633.97	69 633.16	+0.81	69 687.84	69 687.61	+0.23
7.5	69 649.91	69 649.15	+0.76	69 707.73	69 707.11	+0.62
8.5	69 667.65	69 667.39	+0.26	69 729.31	69 729.08	+0.23
9.5	69 687.38	69 687.89	-0.51	69 753.94	69 753.50	+0.44
10.5	69 710.42	69 710.67	-0.25	69 780.68	69 780.35	+0.33
11.5	69 736.01	69 735.74	+0.27	69 810.01	69 809.62	+0.39
12.5	69 763.75	69 763.11	+0.64	69 840.97	69 841.29	-0.32
13.5	69 793.13	69 792.79	+0.34	69 874.92	69 875.36	-0.44
14.5	69 824.39	69 824.77	-0.38	69 911.03	69 911.82	-0.79
15.5	69 859.43	69 859.06	+0.37	69 949.97	69 950.65	-0.68
16.5	69 895.21	69 895.67	-0.46	69 991.19	69 991.84	-0.65
17.5	69 934.01	69 934.59	-0.58			
18.5	69 975.17	69 975.83	-0.66			
19.5	70018.82	70019.39	-0.57			

表 1 列出  $Q_{11}$ 、 $Q_{21}$  支各  $J$  值转动线的二光子频率的观察值、计算值 (采用拟合出的  $A'_V$ 、 $B'_V$ 、 $D'_V$ 、 $\sigma_0$  参数及公式 (3)–(6)) 及二者偏差。在光谱标识过程中保持不变的基态参数以及通过对观察到的 36 条  $Q$  支转动线拟合所得的上态参数均列于表 2。由  $B'_V > B''_V$  可知，CF 自由基  $E^2\Pi_r$  态具有比基态较小的转动惯量和平衡核间距。

值得注意的是，谱中由  $Q_{22}$  支带头位置向红端延伸较明显地发生谱线弥漫增宽现象，预示此段可能存在预离解通道；其中标有 A、B、C 的三部分谱线由于交叉重叠严重而暂未标识，它们可能来自振动热带激发的转动跃迁。

**表 2 CF 自由基  $5p\pi E^2 \Pi_r (v'=1)$  态和  $X^2 \Pi_r (v''=0)$  态的光谱常数（单位： $\text{cm}^{-1}$ ）**

Table 2 The spectroscopic constants (in  $\text{cm}^{-1}$ ) of CF radical

$5p\pi E^2 \Pi_r (v'=1)$  and  $X^2 \Pi_r (v''=0)$  states

Spectroscopic constants	$5p\pi E^2 \Pi_r (v'=1)$	$X^2 \Pi_r (v''=0)$
$\sigma_0$	$69\,566.38 \pm 0.52$	0
$A'_V$	$46.4 \pm 0.3$	$77.196\,9^{a)}$
$B'_V$	$2.565 \pm 0.017$	$1.407\,332^{a)}$
$D'_V$	$(8.6 \pm 1.2) \times 10^{-6}$	$6.629\,47 \times 10^{-6a})$

a) see Ref.[11].

### 参 考 文 献

- 1 Andrews E B, Barrow R F. *Nature*, 1950, 165:890
- 2 Proter T L, Mann D E, Acquista N. *J. Mol. Spectrosc.*, 1965, 16:228
- 3 Carroll D K, Gremnan T P. *J. Phys.*, 1970, B3:865
- 4 Jacox M E. *Chem. Phys.*, 1981, 59:199
- 5 Grieman F J, Groege A T, Engelking P C. *J. Chem. Phys.*, 1983, 78:2248
- 6 Booth J P, Hancock G, et al. *J. Phys. Chem.*, 1996, 100:47
- 7 Johnson III R D, Hudgens J W. *J. Phys. Chem.*, 1987, 91:6189
- 8 Zhang Qun(张群), Shu Jinian(束继年), Li Quanxin(李全新), et al. *Wuli Xuebao(物理学报)*, 1998, 47:1776
- 9 Li Quanxin(李全新), Zhang Qun(张群), Shu Jinian(束继年), et al. *Wuli Xuebao(物理学报)*, in press
- 10 Dyke J M, Lewis A E, Morris A. *J. Chem. Phys.*, 1984, 80:1382
- 11 Brown J M, Schubert J E, Saykally R J, Evenson K M. *J. Mol. Spectrosc.*, 1986, 120:421
- 12 Bray R G, Hochstrasser R M. *Mol. Phys.*, 1976, 31:1199
- 13 Herzberg G. *Spectra of Diatomic Molecules*, New York: Van Nostrand Reinhold, 1950, p.232

### The Rotational Analysis for the $5p\pi E^2 \Pi_r (v'=1) \leftarrow X^2 \Pi_r (v''=0)$ Band of CF Radical\*

Zhang Qun Shu Jinian Zhou Xiaoguo Dai Jinghua Li Quanxin

(Department of Chemical Physics, University of Science and Technology of China, Hefei 230026; Open Laboratory of Band-Selective Chemistry, Chinese Academy of Sciences)

**Abstract** The two-photon resonance-enhanced multiphoton ionization spectrum between 285 and 288.5 nm of the  $5p\pi E^2 \Pi_r (v'=1) \leftarrow X^2 \Pi_r (v''=0)$  band of CF radical is reported. The band is rotationally analyzed, and the spectroscopic constants of the  $5p\pi E^2 \Pi_r (v'=1)$  state are first derived:  $\sigma_0 = 69\,566.38 \pm 0.52 \text{ cm}^{-1}$ ,  $A'_V = 46.4 \pm 0.3 \text{ cm}^{-1}$ ,  $B'_V = 2.565 \pm 0.017 \text{ cm}^{-1}$ ,  $D'_V = (8.6 \pm 1.2) \times 10^{-6} \text{ cm}^{-1}$ .

**Keywords:** CF radical, REMPI,  $5p\pi E^2 \Pi_r$  state, Spectroscopic constants

Received 1998-06-08, revised 1998-07-14. Correspondent: Li Quanxin. \* The Project Supported by NSFC